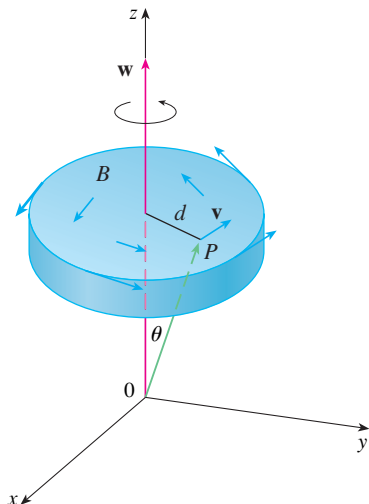


pode ser descrita pelo vetor  $\mathbf{w} = \omega \mathbf{k}$ , onde  $\omega$  é a velocidade angular de  $B$ , ou seja, a velocidade tangencial de qualquer ponto  $P$  em  $B$  dividida pela distância  $d$  do eixo de rotação. Seja  $\mathbf{r} = \langle x, y, z \rangle$  o vetor posição de  $P$ .

(a) Considerando o ângulo  $\theta$  da figura, mostre que o campo de velocidade de  $B$  é dado por  $\mathbf{v} = \mathbf{w} \times \mathbf{r}$ .

(b) Mostre que  $\mathbf{v} = -\omega y \mathbf{i} + \omega x \mathbf{j}$ .

(c) Mostre que  $\text{rot } \mathbf{v} = 2\mathbf{w}$ .



38. As equações de Maxwell relacionam o campo elétrico  $\mathbf{E}$  e o campo magnético  $\mathbf{H}$ , quando eles variam com o tempo em uma região que não contenha carga nem corrente, como segue:

$$\text{div } \mathbf{E} = 0$$

$$\text{div } \mathbf{H} = 0$$

$$\text{rot } \mathbf{E} = -\frac{1}{c} \frac{\partial \mathbf{H}}{\partial t}$$

$$\text{rot } \mathbf{H} = \frac{1}{c} \frac{\partial \mathbf{E}}{\partial t}$$

onde  $c$  é a velocidade da luz. Use essas equações para demonstrar o seguinte:

$$(a) \nabla \times (\nabla \times \mathbf{E}) = -\frac{1}{c^2} \frac{\partial^2 \mathbf{E}}{\partial t^2}$$

$$(b) \nabla \times (\nabla \times \mathbf{H}) = -\frac{1}{c^2} \frac{\partial^2 \mathbf{H}}{\partial t^2}$$

$$(c) \nabla^2 \mathbf{E} = \frac{1}{c^2} \frac{\partial^2 \mathbf{E}}{\partial t^2} \quad [\text{Sugestão: Use o Exercício 29.}]$$

$$(d) \nabla^2 \mathbf{H} = \frac{1}{c^2} \frac{\partial^2 \mathbf{H}}{\partial t^2}$$

39. Vimos que todos os campos vetoriais da forma  $\mathbf{F} = \nabla g$  satisfazem a equação  $\text{rot } \mathbf{F} = \mathbf{0}$  e que todos os campos vetoriais da forma  $\mathbf{F} = \text{rot } \mathbf{G}$  satisfazem a equação  $\text{div } \mathbf{F} = 0$  (supondo a continuidade das correspondentes derivadas parciais). Isto sugere a pergunta: existe alguma equação que todas as funções da forma  $f = \text{div } \mathbf{G}$  devam satisfazer? Mostre que a resposta para essa pergunta é “Não” demonstrando que toda função contínua  $f$  em  $\mathbb{R}^3$  é a divergência de algum campo de vetores. [Dica: Seja  $\mathbf{G}(x, y, z) = \langle g(x, y, z), 0, 0 \rangle$ , onde  $g(x, y, z) = \int_0^x f(t, y, z) dt$ .]

## 16.6 Superfícies Parametrizadas e suas Áreas

Até agora temos considerado tipos especiais de superfícies: cilindros, superfícies quádras, gráficos de funções de duas variáveis e superfícies de nível de funções de três variáveis. Aqui, usaremos funções vetoriais para descrever superfícies mais gerais, chamadas *superfícies parametrizadas* e calcularemos suas áreas. A seguir, tomaremos a fórmula para a área de superfícies gerais e veremos como se aplica a superfícies especiais.

### Superfícies Parametrizadas

De modo muito semelhante à nossa descrição de curvas espaciais por uma função vetorial  $\mathbf{r}(t)$  de um único parâmetro  $t$ , podemos descrever uma superfície por uma função vetorial  $\mathbf{r}(u, v)$  de dois parâmetros  $u$  e  $v$ . Suponhamos que

$$\boxed{1} \quad \mathbf{r}(u, v) = x(u, v) \mathbf{i} + y(u, v) \mathbf{j} + z(u, v) \mathbf{k}$$

seja uma função a valores vetoriais definida sobre uma região  $D$  do plano  $uv$ . Então  $x$ ,  $y$  e  $z$ , os componentes de funções de  $\mathbf{r}$ , serão funções das duas variáveis  $u$  e  $v$  com domínio  $D$ . O conjunto de todos os pontos  $(x, y, z)$  em  $\mathbb{R}^3$  tal que

$$\boxed{2} \quad x = x(u, v) \quad y = y(u, v) \quad z = z(u, v)$$

e  $(u, v)$  varia ao longo de  $D$ , é chamado de **superfície parametrizada**  $S$  e Equações 2 são chamados **equações parametrizadas** de  $S$ . Cada escolha de  $u$  e  $v$  resulta um ponto em  $S$ ; fazendo todas as escolhas, temos todos os pontos de  $S$ . Em outras palavras, a superfície é

traçada pela ponta do vetor posição  $\mathbf{r}(u, v)$  enquanto  $(u, v)$  se move ao longo da região  $D$ . (Veja a Figura 1.)

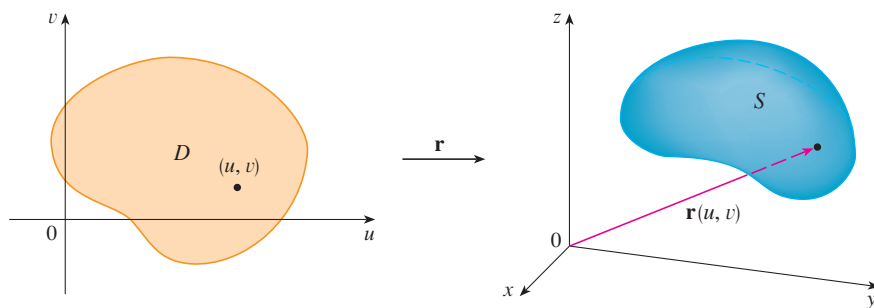


FIGURA 1

Uma superfície parametrizada

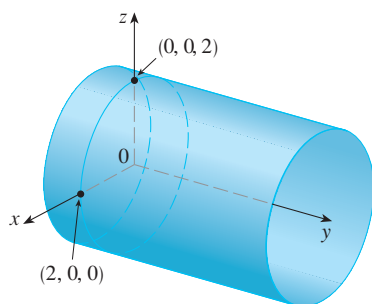


FIGURA 2

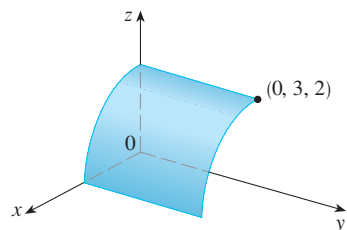


FIGURA 3

**EXEMPLO 1** Identifique e esboce a superfície com equação vetorial

$$\mathbf{r}(u, v) = 2 \cos u \mathbf{i} + v \mathbf{j} + 2 \sin u \mathbf{k}$$

**SOLUÇÃO** As equações paramétricas para essa superfície são

$$x = 2 \cos u \quad y = v \quad z = 2 \sin u$$

então, para qualquer ponto  $(x, y, z)$  da superfície, temos

$$x^2 + z^2 = 4 \cos^2 u + 4 \sin^2 u = 4$$

Isso significa que todas as seções transversais paralelas ao plano  $xz$  (isto é, com  $y$  constante) são circunferências de raio 2. Como  $y = v$  e não existe restrição ao valor de  $v$ , a superfície é um cilindro circular de raio 2 cujo eixo é o eixo  $y$  (veja a Figura 2).

No Exemplo 1 não existiam restrições quanto aos parâmetros  $u$  e  $v$  e assim obtivemos o cilindro inteiro. Se, por exemplo, restringíssemos  $u$  e  $v$ , escrevendo o domínio dos parâmetros como

$$0 \leq u \leq \pi/2 \quad 0 \leq v \leq 3$$

Então  $x \geq 0$ ,  $z \geq 0$ ,  $0 \leq y \leq 3$  e obteríamos o quarto do cilindro de comprimento 3 ilustrado na Figura 3.

Se uma superfície parametrizada  $S$  é dada por uma função vetorial  $\mathbf{r}(u, v)$ , então existem duas famílias de curvas úteis contidas em  $S$ , uma família com  $u$  constante e outra com  $v$  constante. Essas famílias correspondem a retas verticais e horizontais no plano  $uv$ . Se mantivermos  $u$  constante, impondo  $u = u_0$ , então  $\mathbf{r}(u_0, v)$  se torna uma função vetorial com um único parâmetro  $v$  que define uma curva  $C_1$  sobre  $S$ . (Veja a Figura 4.)

**TEC** Visual 16.6 mostra versões animadas de Figuras 4 e 5, com o movimento das curvas de grade, para diversas superfícies parametrizadas.

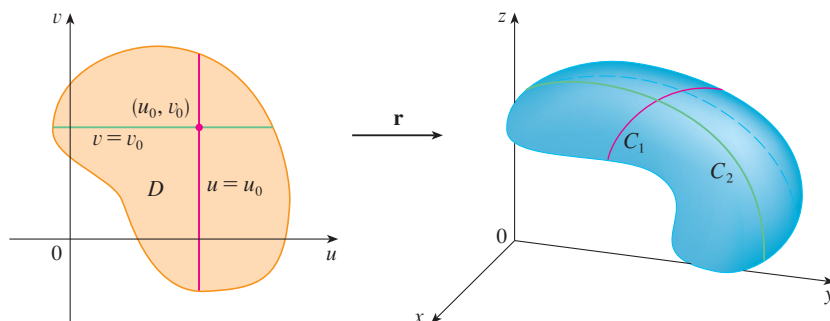


FIGURA 4

Da mesma forma, se mantivermos  $v$  constante tomando  $v = v_0$ , obteremos a curva  $C_2$  dada por  $\mathbf{r}(u, v_0)$  que está sobre  $S$ . Chamamos essas curvas **curva da grade**. (No Exemplo 1, por exemplo, as curvas da grade obtidas tornando  $u$  constante são linhas horizontais, enquanto as curvas da grade obtidas com  $v$  constante são circunferências.) Na verdade, quando um computador elabora em gráfico uma superfície parametrizada, que normalmente apresenta a superfície traçando as curvas da grade, como podemos ver no exemplo a seguir.

**EXEMPLO 2** Use um sistema de computação algébrica para traçar o gráfico da superfície

$$\mathbf{r}(u, v) = \langle (2 + \sin v) \cos u, (2 + \sin v) \sin u, u + \cos v \rangle$$

Quais são as curvas da grade com  $u$  constante? Quais têm  $v$  constante?

**SOLUÇÃO** Traçamos o pedaço da superfície com os parâmetros delimitados por  $0 \leq u \leq 4\pi$ ,  $0 \leq v \leq 2\pi$  na Figura 5. Esse gráfico tem a aparência de um tubo espiral. Para identificarmos as curvas da grade, escrevemos as equações paramétricas correspondentes:

$$x = (2 + \sin v) \cos u \quad y = (2 + \sin v) \sin u \quad z = u + \cos v$$

Se  $v$  é constante, então  $\sin v$  e  $\cos v$  são constantes, portanto, as equações paramétricas se assemelham às da hélice no Exemplo 4 na Seção 13.1. Assim, as curvas de grade com  $v$  constante são as curvas em espiral na Figura 5. Deduzimos que as curvas de grade com  $u$  constante devem ser curvas que parecem círculos na figura. Maior evidência dessa afirmação é que, se mantivermos  $u$  constante,  $u = u_0$ , então as equações  $z = u_0 + \cos v$  mostram que os valores de  $z$  variam de  $u_0 - 1$  até  $u_0 + 1$ .

Nos Exemplos 1 e 2 nos foi dada uma equação vetorial e pedido o gráfico da superfície parametrizada correspondente. Nos exemplos seguintes, entretanto, teremos o problema mais desafiador de achar a função vetorial que representa uma superfície dada. No restante deste capítulo, teremos de fazer exatamente isso muitas vezes.

**EXEMPLO 3** Determine a função vetorial que representa o plano que passa pelo ponto  $P_0$  com vetor posição  $\mathbf{r}_0$  e que contenha dois vetores não paralelos  $\mathbf{a}$  e  $\mathbf{b}$

**SOLUÇÃO** Se  $P$  é qualquer ponto no plano, podemos ir de  $P_0$  até  $P$  movendo uma certa distância na direção de  $\mathbf{a}$  e uma outra distância na direção de  $\mathbf{b}$ . Então, existem escalares  $u$  e  $v$  tais que  $\overrightarrow{P_0P} = u\mathbf{a} + v\mathbf{b}$ . (A Figura 6 ilustra como isto funciona, por meio da lei do paralelogramo, para o caso em que  $u$  e  $v$  são positivos. Veja também o Exercício 46 na Seção 12.2.) Se  $\mathbf{r}$  é o vetor posição de  $P$ , então

$$\mathbf{r} = \overrightarrow{OP_0} + \overrightarrow{P_0P} = \mathbf{r}_0 + u\mathbf{a} + v\mathbf{b}$$

Assim, a equação vetorial do plano pode ser escrita como

$$\mathbf{r}(u, v) = \mathbf{r}_0 + u\mathbf{a} + v\mathbf{b}$$

onde  $u$  e  $v$  são números reais.

Se escrevermos  $\mathbf{r} = \langle x, y, z \rangle$ ,  $\mathbf{r}_0 = \langle x_0, y_0, z_0 \rangle$ ,  $\mathbf{a} = \langle a_1, a_2, a_3 \rangle$  e  $\mathbf{b} = \langle b_1, b_2, b_3 \rangle$ , podemos escrever as equações paramétricas do plano pelo ponto  $(x_0, y_0, z_0)$  como segue:

$$x = x_0 + ua_1 + vb_1 \quad y = y_0 + ua_2 + vb_2 \quad z = z_0 + ua_3 + vb_3$$

**EXEMPLO 4** Determine uma representação parametrizada da esfera

$$x^2 + y^2 + z^2 = a^2$$

**SOLUÇÃO** A esfera tem uma representação simples  $\rho = a$  em coordenadas esféricas, então vamos escolher os ângulos  $\phi$  e  $\theta$  das coordenadas esféricas como parâmetros (veja a Seção 15.9). Tomando  $\rho = a$  nas equações para conversão de coordenadas esféricas para coordenadas retangulares (Equação 15.9.1), obtemos

$$x = a \sin \phi \cos \theta \quad y = a \sin \phi \sin \theta \quad z = a \cos \phi$$

como equações parametrizadas da esfera. A equação vetorial correspondente é

$$\mathbf{r}(\phi, \theta) = a \sin \phi \cos \theta \mathbf{i} + a \sin \phi \sin \theta \mathbf{j} + a \cos \phi \mathbf{k}$$

Temos  $0 \leq \phi \leq \pi$  e  $0 \leq \theta \leq 2\pi$ , de modo que o domínio dos parâmetros é o retângulo  $D = [0, \pi] \times [0, 2\pi]$ . As curvas da grade com  $\phi$  constante são as circunferências de latitude constante (incluindo o equador). As curvas da grade com  $\theta$  constante são os meridianos (semicircunferências), que ligam os Polos Norte e Sul (veja a Figura 7).

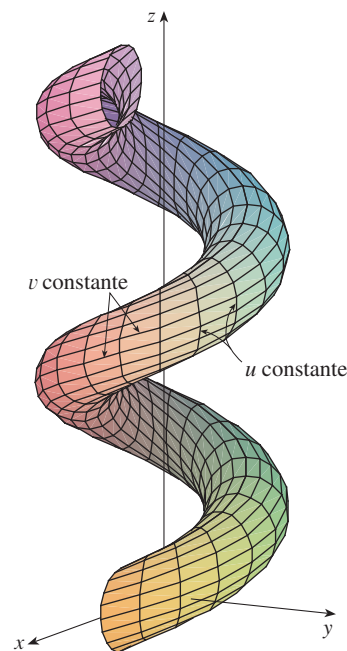


FIGURA 5

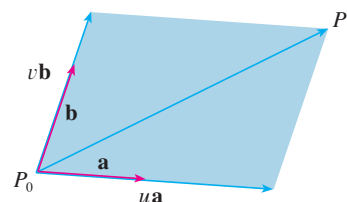


FIGURA 6

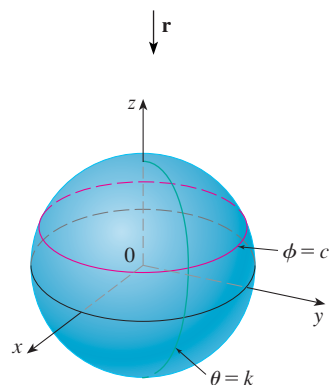
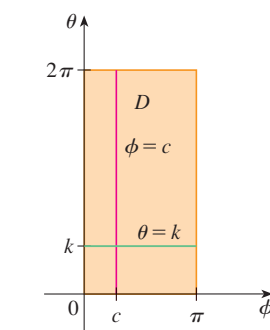


FIGURA 7

Um dos usos de superfícies parametrizadas é na computação gráfica. A Figura 8 mostra o resultado de tentar traçar a esfera  $x^2 + y^2 + z^2 = 1$  resolvendo a equação para  $z$  e traçando os hemisférios de cima e de baixo separadamente. Parte da esfera parece estar ausente por causa do sistema de grade retangular utilizado pelo computador. A imagem, muito melhor na Figura 9, foi produzida por um computador, utilizando as equações parametrizadas encontradas no Exemplo 4.

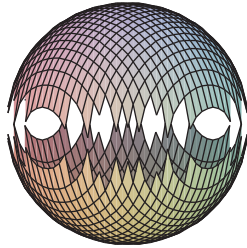


FIGURA 8

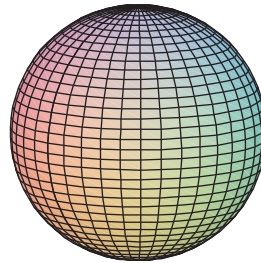


FIGURA 9

**OBSERVAÇÃO** Vimos no Exemplo 4 que as curvas de grade para uma esfera são curvas de latitude e longitude constantes. Para uma superfície parametrizada geral, estamos realmente fazendo um mapa e as curvas da grade são semelhantes a linhas de latitude e longitude. Descrever um ponto sobre uma superfície parametrizada (como o da Figura 5) dando valores específicos de  $u$  e  $v$  é como dar a latitude e a longitude de um ponto.

**EXEMPLO 5** Determine uma representação parametrizada do cilindro

$$x^2 + y^2 = 4 \quad 0 \leq z \leq 1$$

**SOLUÇÃO** O cilindro tem representação  $r = 2$  em coordenadas cilíndricas; assim escolhemos como parâmetros  $\theta$  e  $z$  das coordenadas cilíndricas. Então as equações paramétricas do cilindro são

$$x = 2 \cos \theta \quad y = 2 \sin \theta \quad z = z$$

onde  $0 \leq \theta \leq 2\pi$  e  $0 \leq z \leq 1$ .

**EXEMPLO 6** Determine uma função vetorial que represente o paraboloide elíptico  $z = x^2 + 2y^2$ .

**SOLUÇÃO** Se olharmos para  $x$  e  $y$  como parâmetros, as equações paramétricas ficam simplesmente

$$x = x \quad y = y \quad z = x^2 + 2y^2$$

e a equação vetorial é

$$\mathbf{r}(x, y) = x \mathbf{i} + y \mathbf{j} + (x^2 + 2y^2) \mathbf{k}$$

Em geral, uma superfície dada como o gráfico de uma função de  $x$  e  $y$ , ou seja, com equação da forma  $z = f(x, y)$ , pode sempre ser olhada como uma superfície parametrizada, tomando  $x$  e  $y$  como parâmetros e escrevendo as equações paramétricas como

$$x = x \quad y = y \quad z = f(x, y)$$

Representações parametrizadas (também chamadas parametrizações) de superfícies não são únicas. O próximo exemplo mostra dois modos de parametrizar um cone.

**EXEMPLO 7** Determine uma representação parametrizada para a superfície  $z = 2\sqrt{x^2 + y^2}$ , ou seja, a metade superior do cone  $z^2 = 4x^2 + 4y^2$ .

**SOLUÇÃO 1** Uma possível representação é obtida escolhendo-se  $x$  e  $y$  como parâmetros:

$$x = x \quad y = y \quad z = 2\sqrt{x^2 + y^2}$$

Assim, a equação vetorial é

$$\mathbf{r}(x, y) = x \mathbf{i} + y \mathbf{j} + 2\sqrt{x^2 + y^2} \mathbf{k}$$

**SOLUÇÃO 2** Outra representação resulta da escolha das coordenadas polares  $r$  e  $\theta$ . Um ponto  $(x, y, z)$  sobre o cone satisfaz  $x = r \cos \theta$ ,  $y = r \sin \theta$  e  $z = 2\sqrt{x^2 + y^2} = 2r$ . Assim, uma equação vetorial para o cone é

$$\mathbf{r}(r, \theta) = r \cos \theta \mathbf{i} + r \sin \theta \mathbf{j} + 2r \mathbf{k}$$

onde  $r \geq 0$  e  $0 \leq \theta \leq 2\pi$ .

**TEC** Em *Module 16.6* você pode investigar várias famílias de superfícies parametrizadas.

Para alguns propósitos, as representações parametrizadas das Soluções 1 e 2 são igualmente boas, mas a Solução 2 pode ser preferível em certas situações. Se estivermos interessados somente na parte do cone que está abaixo do plano  $z = 1$ , por exemplo, tudo que devemos fazer na Solução 2 é mudar o domínio do parâmetro para

$$0 \leq r \leq \frac{1}{2} \quad 0 \leq \theta \leq 2\pi$$

## Superfícies de Revolução

As superfícies de revolução podem ser representadas na forma parametrizada e, portanto, seus gráficos podem ser traçados usando-se um computador. Por exemplo, vamos considerar a superfície  $S$  obtida pela rotação da curva  $y = f(x)$ ,  $a \leq x \leq b$ , sobre o eixo  $x$ , onde  $f(x) \geq 0$ . Seja  $\theta$  o ângulo de rotação, como mostrado na Figura 10. Se  $(x, y, z)$  é um ponto em  $S$ , então

$$\boxed{3} \quad x = x \quad y = f(x) \cos \theta \quad z = f(x) \sin \theta$$

Portanto, tomamos  $x$  e  $\theta$  como parâmetros e olhamos as Equações 3 como equações paramétricas de  $S$ . O domínio do parâmetro é dado por  $a \leq x \leq b$ ,  $0 \leq \theta \leq 2\pi$ .

**EXEMPLO 8** Encontre equações paramétricas para a superfície gerada pela rotação da curva  $y = \sin x$ ,  $0 \leq x \leq 2\pi$  sobre o eixo  $x$ . Use essas equações para o gráfico da superfície de revolução.

**SOLUÇÃO** Das Equações 3, as equações paramétricas são

$$x = x \quad y = \sin x \cos \theta \quad z = \sin x \sin \theta$$

e o domínio do parâmetro é  $0 \leq x \leq 2\pi$ ,  $0 \leq \theta \leq 2\pi$ . Usando um computador para traçar essas equações e girar a imagem, obtemos o gráfico da Figura 11.

Podemos adaptar as Equações 3 para representar uma superfície obtida pela revolução em torno do eixo  $y$  ou do eixo  $z$  (veja o Exercício 30).

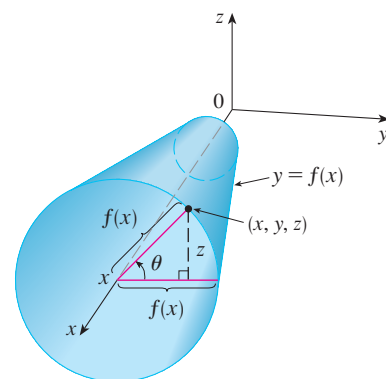


FIGURA 10

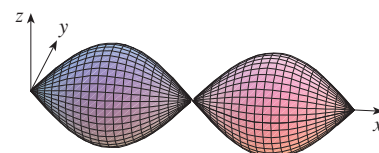


FIGURA 11

## Planos Tangentes

Agora vamos determinar o plano tangente a uma superfície parametrizada determinada por uma função vetorial

$$\mathbf{r}(u, v) = x(u, v) \mathbf{i} + y(u, v) \mathbf{j} + z(u, v) \mathbf{k}$$

em um ponto  $P_0$  com vetor posição  $\mathbf{r}(u_0, v_0)$ . Se mantivermos  $u$  constante usando  $u = u_0$ , então  $\mathbf{r}(u_0, v)$  torna-se uma função vetorial do parâmetro único  $v$  e define uma curva de grade  $C_1$  em  $S$ . (Veja a Figura 12.) O vetor tangente a  $C_1$  em  $P_0$  é obtido tomando-se a derivada parcial de  $\mathbf{r}$  em relação a  $v$ :

$$\boxed{4} \quad \mathbf{r}_v = \frac{\partial x}{\partial v}(u_0, v_0) \mathbf{i} + \frac{\partial y}{\partial v}(u_0, v_0) \mathbf{j} + \frac{\partial z}{\partial v}(u_0, v_0) \mathbf{k}$$

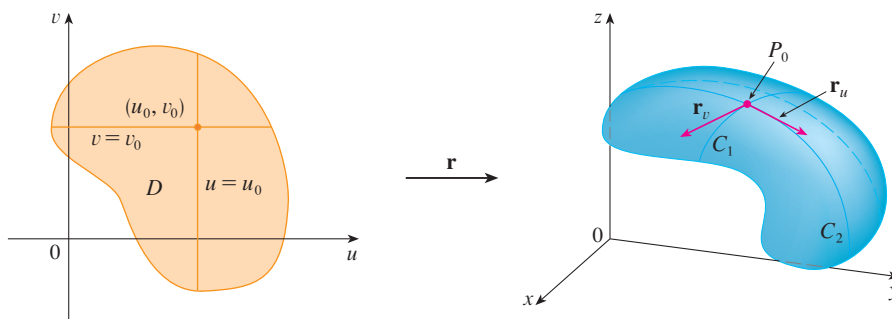


FIGURA 12

Da mesma forma, se mantivermos  $v$  constante tomando  $v = v_0$ , obteremos a curva da grade  $C_2$  dada por  $\mathbf{r}(u, v_0)$  que está sobre  $S$ , e cujo vetor tangente em  $P_0$  é

$$\boxed{5} \quad \mathbf{r}_u = \frac{\partial x}{\partial u}(u_0, v_0) \mathbf{i} + \frac{\partial y}{\partial u}(u_0, v_0) \mathbf{j} + \frac{\partial z}{\partial u}(u_0, v_0) \mathbf{k}$$

Se  $\mathbf{r}_u \times \mathbf{r}_v$  não é  $\mathbf{0}$ , então a superfície  $S$  é dita **suave** (sem “bicos”). Para uma superfície suave, o **plano tangente** é o que contém os vetores tangentes  $\mathbf{r}_u$  e  $\mathbf{r}_v$  e  $\mathbf{r}_u \times \mathbf{r}_v$  é o vetor normal ao plano tangente.

A Figura 13 mostra a superfície que se autointercepta no Exemplo 9 e seu plano tangente em  $(1, 1, 3)$ .

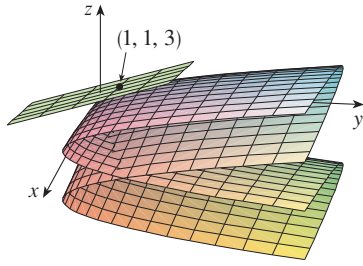


FIGURA 13

**EXEMPLO 9** Determine o plano tangente à superfície com equações paramétricas  $x = u^2$ ,  $y = v^2$ ,  $z = u + 2v$  no ponto  $(1, 1, 3)$ .

**SOLUÇÃO** Primeiro, vamos calcular os vetores tangentes:

$$\mathbf{r}_u = \frac{\partial x}{\partial u} \mathbf{i} + \frac{\partial y}{\partial u} \mathbf{j} + \frac{\partial z}{\partial u} \mathbf{k} = 2u \mathbf{i} + \mathbf{k}$$

$$\mathbf{r}_v = \frac{\partial x}{\partial v} \mathbf{i} + \frac{\partial y}{\partial v} \mathbf{j} + \frac{\partial z}{\partial v} \mathbf{k} = 2v \mathbf{j} + 2 \mathbf{k}$$

Assim, o vetor normal ao plano tangente é

$$\mathbf{r}_u \times \mathbf{r}_v = \begin{vmatrix} \mathbf{i} & \mathbf{j} & \mathbf{k} \\ 2u & 0 & 1 \\ 0 & 2v & 2 \end{vmatrix} = -2v \mathbf{i} - 4u \mathbf{j} + 4uv \mathbf{k}$$

Observe que o ponto  $(1, 1, 3)$  corresponde aos valores dos parâmetros  $u = 1$  e  $v = 1$ , de forma que o vetor normal ali é

$$-2 \mathbf{i} - 4 \mathbf{j} + 4 \mathbf{k}$$

Portanto, uma equação do plano tangente em  $(1, 1, 3)$  é

$$-2(x - 1) - 4(y - 1) + 4(z - 3) = 0$$

ou

$$x + 2y - 2z + 3 = 0$$

### Área da Superfície

Definiremos agora a área de uma superfície parametrizada geral dada pela Equação 1. Para simplificar, vamos considerar inicialmente uma superfície cujo domínio dos parâmetros  $D$  é um retângulo, que dividiremos em sub-retângulos  $R_{ij}$ . Vamos escolher  $(u_i^*, v_j^*)$  como o canto

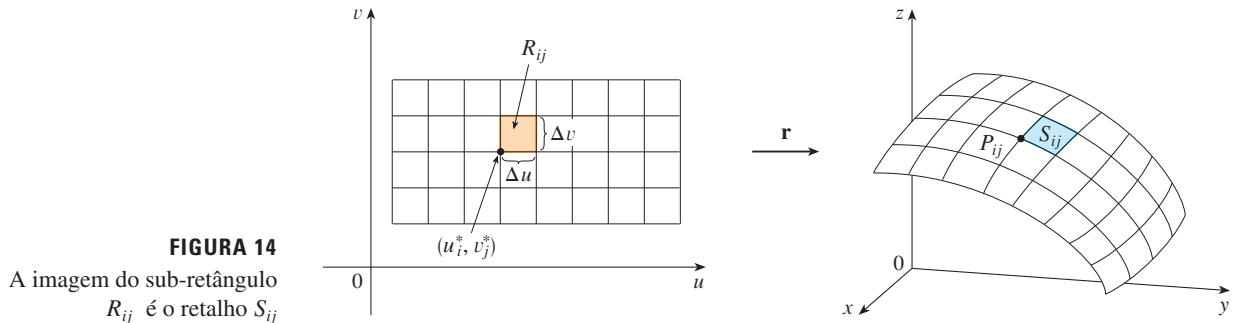


FIGURA 14

A imagem do sub-retângulo  $R_{ij}$  é o retalho  $S_{ij}$

inferior esquerdo do retângulo  $R_{ij}$ . (Veja a Figura 14.)

A parte  $S_{ij}$  da superfície  $S$  que corresponde a  $R_{ij}$  é chamada de *retalho* e tem um ponto  $P_{ij}$  com vetor posição  $\mathbf{r}(u_i^*, v_j^*)$  como um de seus cantos. Sejam

$$\mathbf{r}_u^* = \mathbf{r}_u(u_i^*, v_j^*) \quad \text{e} \quad \mathbf{r}_v^* = \mathbf{r}_v(u_i^*, v_j^*)$$

os vetores tangentes em  $P_{ij}$  calculados pelas Equações 5 e 4.

A Figura 15(a) mostra como os dois lados do retalho que se encontram em  $P_{ij}$  podem ser aproximados por vetores. Esses vetores, por sua vez, podem ser aproximados pelos vetores  $\Delta u \mathbf{r}_u^*$  e  $\Delta v \mathbf{r}_v^*$  porque as derivadas parciais podem ser aproximadas pelos quocientes de diferenças. Assim, aproximamos  $S_{ij}$  pelo paralelogramo determinado pelos vetores  $\Delta u \mathbf{r}_u^*$  e  $\Delta v \mathbf{r}_v^*$ . Esse paralelogramo está representado na Figura 15(b) e está contido no plano tangente a  $S$  em  $P_{ij}$ . A área desse paralelogramo é

$$|(\Delta u \mathbf{r}_u^*) \times (\Delta v \mathbf{r}_v^*)| = |\mathbf{r}_u^* \times \mathbf{r}_v^*| \Delta u \Delta v$$

e então uma aproximação da área de  $S$  é

$$\sum_{i=1}^m \sum_{j=1}^n |\mathbf{r}_u^* \times \mathbf{r}_v^*| \Delta u \Delta v$$

A intuição nos diz que essa aproximação fica melhor à medida que aumentamos o número de sub-retângulos e reconhecemos a soma dupla como a soma de Riemann para a integral dupla  $\iint_D |\mathbf{r}_u \times \mathbf{r}_v| du dv$ . Isso justifica a seguinte definição:

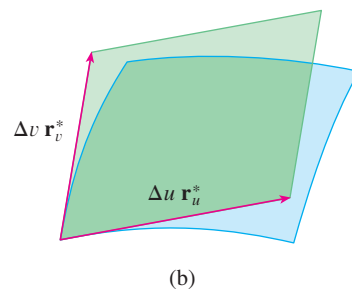
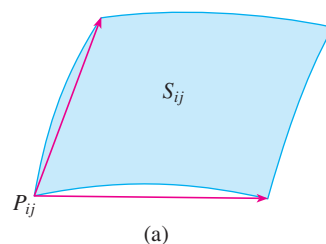
**6 Definição** Se uma superfície parametrizada suave  $S$  é dada pela equação

$$\mathbf{r}(u, v) = x(u, v) \mathbf{i} + y(u, v) \mathbf{j} + z(u, v) \mathbf{k} \quad (u, v) \in D$$

e  $S$  é coberta uma única vez quando  $(u, v)$  abrange todo o domínio  $D$  dos parâmetros, então a **área da superfície** de  $S$  é

$$A(S) = \iint_D |\mathbf{r}_u \times \mathbf{r}_v| dA$$

onde  $\mathbf{r}_u = \frac{\partial x}{\partial u} \mathbf{i} + \frac{\partial y}{\partial u} \mathbf{j} + \frac{\partial z}{\partial u} \mathbf{k} \quad \mathbf{r}_v = \frac{\partial x}{\partial v} \mathbf{i} + \frac{\partial y}{\partial v} \mathbf{j} + \frac{\partial z}{\partial v} \mathbf{k}$



**FIGURA 15**  
Aproximando um retalho por um paralelogramo

**EXEMPLO 10** Determine a área da esfera de raio  $a$ .

**SOLUÇÃO** No Exemplo 4 encontramos a representação parametrizada

$$x = a \sin \phi \cos \theta \quad y = a \sin \phi \sin \theta \quad z = a \cos \phi$$

onde o domínio dos parâmetros é

$$D = \{(\phi, \theta) \mid 0 \leq \phi \leq \pi, 0 \leq \theta \leq 2\pi\}$$

Vamos calcular primeiro o produto cruzado dos vetores tangentes:

$$\begin{aligned} \mathbf{r}_\phi \times \mathbf{r}_\theta &= \begin{vmatrix} \mathbf{i} & \mathbf{j} & \mathbf{k} \\ \frac{\partial x}{\partial \phi} & \frac{\partial y}{\partial \phi} & \frac{\partial z}{\partial \phi} \\ \frac{\partial x}{\partial \theta} & \frac{\partial y}{\partial \theta} & \frac{\partial z}{\partial \theta} \end{vmatrix} = \begin{vmatrix} \mathbf{i} & \mathbf{j} & \mathbf{k} \\ a \cos \phi \cos \theta & a \cos \phi \sin \theta & -a \sin \phi \\ -a \sin \phi \sin \theta & a \sin \phi \cos \theta & 0 \end{vmatrix} \\ &= a^2 \sin^2 \phi \cos \theta \mathbf{i} + a^2 \sin^2 \phi \sin \theta \mathbf{j} + a^2 \sin \phi \cos \phi \mathbf{k} \end{aligned}$$

Logo,

$$\begin{aligned} |\mathbf{r}_\phi \times \mathbf{r}_\theta| &= \sqrt{a^4 \sin^4 \phi \cos^2 \theta + a^4 \sin^4 \phi \sin^2 \theta + a^4 \sin^2 \phi \cos^2 \phi} \\ &= \sqrt{a^4 \sin^4 \phi + a^4 \sin^2 \phi \cos^2 \phi} = a^2 \sqrt{\sin^2 \phi} = a^2 \sin \phi \end{aligned}$$

uma vez que  $\sin \phi \geq 0$  para  $0 \leq \phi \leq \pi$ . Portanto, pela Definição 6, a área da esfera é

$$\begin{aligned} A &= \iint_D |\mathbf{r}_\phi \times \mathbf{r}_\theta| dA = \int_0^{2\pi} \int_0^\pi a^2 \sin \phi \, d\phi \, d\theta \\ &= a^2 \int_0^{2\pi} d\theta \int_0^\pi \sin \phi \, d\phi = a^2 (2\pi) 2 = 4\pi a^2 \end{aligned}$$

### Área de Superfície do Gráfico de uma Função

Para o caso especial de uma superfície  $S$  com equação  $z = f(x, y)$ , onde  $(x, y)$  está em  $D$  e  $f$  tem derivadas parciais contínuas, tomamos  $x$  e  $y$  como parâmetros. As equações paramétricas são

$$x = x \quad y = y \quad z = f(x, y)$$

assim,  $\mathbf{r}_x = \mathbf{i} + \left( \frac{\partial f}{\partial x} \right) \mathbf{k} \quad \mathbf{r}_y = \mathbf{j} + \left( \frac{\partial f}{\partial y} \right) \mathbf{k}$



e

7

$$\mathbf{r}_x \times \mathbf{r}_y = \begin{vmatrix} \mathbf{i} & \mathbf{j} & \mathbf{k} \\ 1 & 0 & \frac{\partial f}{\partial x} \\ 0 & 1 & \frac{\partial f}{\partial y} \end{vmatrix} = -\frac{\partial f}{\partial x} \mathbf{i} - \frac{\partial f}{\partial y} \mathbf{j} + \mathbf{k}$$

Então temos

8

$$|\mathbf{r}_x \times \mathbf{r}_y| = \sqrt{\left(\frac{\partial f}{\partial x}\right)^2 + \left(\frac{\partial f}{\partial y}\right)^2 + 1} = \sqrt{1 + \left(\frac{\partial z}{\partial x}\right)^2 + \left(\frac{\partial z}{\partial y}\right)^2}$$

e a fórmula de área da superfície na Definição 6 fica

9

$$A(S) = \iint_D \sqrt{1 + \left(\frac{\partial z}{\partial x}\right)^2 + \left(\frac{\partial z}{\partial y}\right)^2} dA$$

Observe a semelhança entre a fórmula da área da superfície da Equação 9 e a fórmula do comprimento do arco

$$L = \int_a^b \sqrt{1 + \left(\frac{dy}{dx}\right)^2} dx$$

da Seção 8.1, no Volume I.

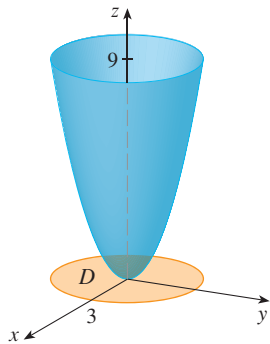


FIGURA 16

**EXEMPLO 11** Determine a área da parte do parabolóide  $z = x^2 + y^2$  que está abaixo do plano  $z = 9$ .

**SOLUÇÃO** O plano intercepta o parabolóide no círculo  $x^2 + y^2 = 9$ ,  $z = 9$ . Portanto, a superfície dada fica acima do disco  $D$  com centro na origem e raio 3. (Veja a Figura 16.) Usando a Fórmula 9, temos

$$\begin{aligned} A &= \iint_D \sqrt{1 + \left(\frac{\partial z}{\partial x}\right)^2 + \left(\frac{\partial z}{\partial y}\right)^2} dA = \iint_D \sqrt{1 + (2x)^2 + (2y)^2} dA \\ &= \iint_D \sqrt{1 + 4(x^2 + y^2)} dA \end{aligned}$$

Convertendo para coordenadas polares, obtemos

$$\begin{aligned} A &= \int_0^{2\pi} \int_0^3 \sqrt{1 + 4r^2} r dr d\theta = \int_0^{2\pi} d\theta \int_0^3 r \sqrt{1 + 4r^2} dr \\ &= 2\pi \left(\frac{1}{8}\right) \left[ (1 + 4r^2)^{3/2} \right]_0^3 = \frac{\pi}{6} (37\sqrt{37} - 1) \end{aligned}$$

Precisamos ainda verificar se nossa definição da área de superfície [6] é coerente com a fórmula da área de superfície obtida no cálculo com uma única variável (8.2.4).

Consideremos a superfície  $S$  obtida pela rotação da curva  $y = f(x)$ ,  $a \leq x \leq b$ , em torno do eixo  $x$ , onde  $f(x) \geq 0$  e  $f'$  é contínua. Da Equação 3, sabemos que as equações paramétricas de  $S$  são

$$x = x \quad y = f(x) \cos \theta \quad z = f(x) \sin \theta \quad a \leq x \leq b \quad 0 \leq \theta \leq 2\pi$$

Para calcularmos a área da superfície  $S$ , precisamos dos vetores tangentes

$$\mathbf{r}_x = \mathbf{i} + f'(x) \cos \theta \mathbf{j} + f'(x) \sin \theta \mathbf{k}$$

$$\mathbf{r}_\theta = -f(x) \sin \theta \mathbf{j} + f(x) \cos \theta \mathbf{k}$$

Logo,

$$\begin{aligned} \mathbf{r}_x \times \mathbf{r}_\theta &= \begin{vmatrix} \mathbf{i} & \mathbf{j} & \mathbf{k} \\ 1 & f'(x) \cos \theta & f'(x) \sin \theta \\ 0 & -f(x) \sin \theta & f(x) \cos \theta \end{vmatrix} \\ &= f(x)f'(x) \mathbf{i} - f(x) \cos \theta \mathbf{j} - f(x) \sin \theta \mathbf{k} \end{aligned}$$

E também

$$\begin{aligned} |\mathbf{r}_x \times \mathbf{r}_\theta| &= \sqrt{[f(x)]^2 [f'(x)]^2 + [f(x)]^2 \cos^2 \theta + [f(x)]^2 \sin^2 \theta} \\ &= \sqrt{[f(x)]^2 [1 + [f'(x)]^2]} = f(x) \sqrt{1 + [f'(x)]^2} \end{aligned}$$



porque  $f'(x) \geq 0$ . Portanto, a área de  $S$  é

$$\begin{aligned} A &= \iint_D |\mathbf{r}_x \times \mathbf{r}_\theta| dA = \int_0^{2\pi} \int_a^b f(x) \sqrt{1 + [f'(x)]^2} dx d\theta \\ &= 2\pi \int_a^b f(x) \sqrt{1 + [f'(x)]^2} dx \end{aligned}$$

Isso é precisamente a fórmula que usamos para definir a área de uma superfície de revolução no cálculo com uma única variável (8.2.4).

## 16.6 Exercícios

**1–2** Determine se os pontos  $P$  e  $Q$  estão na superfície dada.

**1.**  $\mathbf{r}(u, v) = \langle 2u + 3v, 1 + 5u - v, 2 + u + v \rangle$   
 $P(7, 10, 4), Q(5, 22, 5)$

**2.**  $\mathbf{r}(u, v) = \langle u + v, u^2 - v, u + v^2 \rangle$   
 $P(3, -1, 5), Q(-1, 3, 4)$

**3–6** Identifique a superfície que tem a equação paramétrica dada.

**3.**  $\mathbf{r}(u, v) = (u + v)\mathbf{i} + (3 - v)\mathbf{j} + (1 + 4u + 5v)\mathbf{k}$

**4.**  $\mathbf{r}(u, v) = 2 \sin u \mathbf{i} + 3 \cos u \mathbf{j} + v \mathbf{k}, 0 \leq v \leq 2$

**5.**  $\mathbf{r}(s, t) = \langle s, t, t^2 - s^2 \rangle$

**6.**  $\mathbf{r}(s, t) = \langle s, \sin 2t, s^2 \cos 2t \rangle$



**7–12** Use um computador para traçar o gráfico da superfície parametrizada. Imprima o resultado e indique sobre essa impressão quais são as curvas da grade que têm  $u$  constante e quais têm  $v$  constante.

**7.**  $\mathbf{r}(u, v) = \langle u^2, v^2, u + v \rangle, -1 \leq u \leq 1, -1 \leq v \leq 1$

**8.**  $\mathbf{r}(u, v) = \langle u, v^3, -v \rangle, -2 \leq u \leq 2, -2 \leq v \leq 2$

**9.**  $\mathbf{r}(u, v) = \langle u \cos v, u \sin v, u^5 \rangle, -1 \leq u \leq 1, 0 \leq v \leq 2\pi$

**10.**  $\mathbf{r}(u, v) = \langle u, \sin(u + v), \sin v \rangle,$   
 $-\pi \leq u \leq \pi, -\pi \leq v \leq \pi$

**11.**  $x = \sin v, y = \cos u \sin 4v, z = \sin 2u \sin 4v,$   
 $0 \leq u \leq 2\pi, -\pi/2 \leq v \leq \pi/2$

**12.**  $x = \sin u, y = \cos u \sin v, z = \sin v,$   
 $0 \leq u \leq 2\pi, 0 \leq v \leq 2\pi$

**13–18** Faça uma correspondência entre as equações e os gráficos identificados por I–VI e justifique sua resposta. Determine quais famílias de curvas da grade têm  $u$  constante e quais têm  $v$  constante.

**13.**  $\mathbf{r}(u, v) = u \cos v \mathbf{i} + u \sin v \mathbf{j} + v \mathbf{k}$

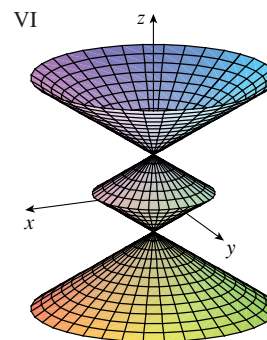
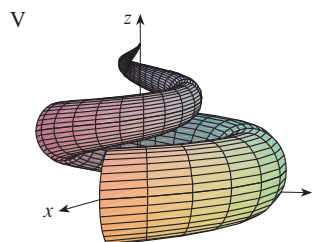
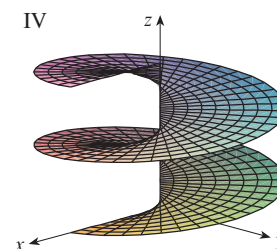
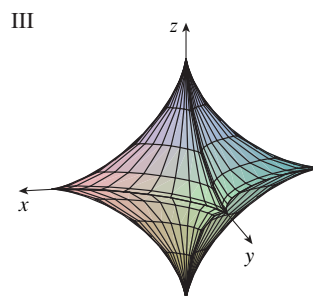
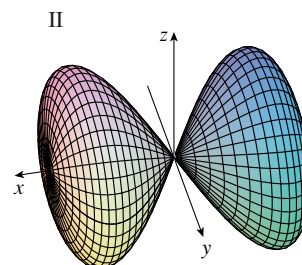
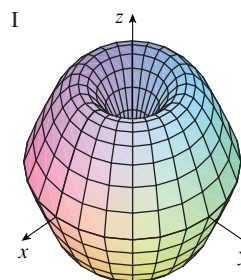
**14.**  $\mathbf{r}(u, v) = u \cos v \mathbf{i} + u \sin v \mathbf{j} + \sin u \mathbf{k}, -\pi \leq u \leq \pi$

**15.**  $\mathbf{r}(u, v) = \sin v \mathbf{i} + \cos u \sin 2v \mathbf{j} + \sin u \sin 2v \mathbf{k}$

**16.**  $x = (1 - u)(3 + \cos v) \cos 4\pi u,$   
 $y = (1 - u)(3 + \cos v) \sin 4\pi u,$   
 $z = 3u + (1 - u) \sin v$

**17.**  $x = \cos^3 u \cos^3 v, y = \sin^3 u \cos^3 v, z = \sin^3 v$

**18.**  $x = (1 - |u|) \cos v, y = (1 - |u|) \sin v, z = u$



**19–26** Determine uma representação parametrizada para a superfície.

**19.** O plano que passa pela origem que contém os vetores  $\mathbf{i} - \mathbf{j}$  e  $\mathbf{j} - \mathbf{k}$

**20.** O plano que passa pelo ponto  $(0, -1, 5)$  e contém os vetores  $(2, 1, 4)$  e  $(-3, 2, 5)$

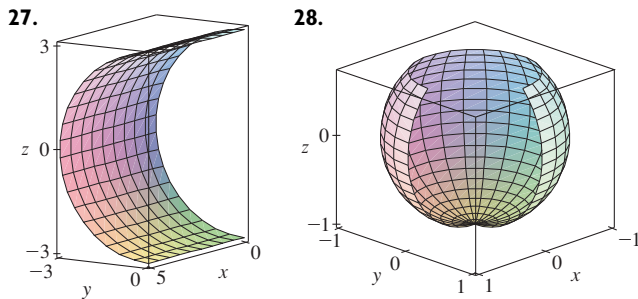
É necessário usar uma calculadora gráfica ou computador

É necessário usar um sistema de computação algébrica

**1.** As Homework Hints estão disponíveis em [www.stewartcalculus.com](http://www.stewartcalculus.com)

21. A parte do hiperboloide  $4x^2 - 4y^2 - z^2 = 4$  que está em frente do plano  $yz$
22. A parte do elipsoide  $x^2 + 2y^2 + 3z^2 = 1$  que se encontra à esquerda do plano  $xz$
23. A parte da esfera  $x^2 + y^2 + z^2 = 4$  que se situa acima do cone  $z = \sqrt{x^2 + y^2}$
24. A parte da esfera  $x^2 + y^2 + z^2 = 16$  que se encontra entre os planos  $z = -2$  e  $z = 2$
25. A parte do cilindro  $y^2 + z^2 = 16$  que se encontra entre os planos  $x = 0$  e  $x = 5$
26. A parte do plano  $z = x + 3$  que está dentro do cilindro  $x^2 + y^2 = 1$

SCA 27–28 Use um sistema de computação algébrica para produzir um gráfico semelhante ao das figuras.



29. Determine as equações paramétricas da superfície obtida pela rotação da curva  $y = e^{-x}$ ,  $0 \leq x \leq 3$ , em torno do eixo  $x$  e use-as para traçar o gráfico da superfície.
30. Determine as equações paramétricas da superfície obtida pela rotação da curva  $x = 4y^2 - y^4$ ,  $-2 \leq y \leq 2$ , em torno do eixo  $y$  e use-as para traçar o gráfico da superfície.
31. (a) O que acontecerá com o tubo espiral do Exemplo 2 (veja a Figura 5) se substituirmos  $\cos u$  por  $\sin u$  e  $\sin u$  por  $\cos u$ ?  
(b) O que acontecerá se substituirmos  $\cos u$  por  $\cos 2u$  e  $\sin u$  por  $\sin 2u$ ?
32. A superfície com as equações paramétricas

$$x = 2 \cos \theta + r \cos(\theta/2)$$

$$y = 2 \sin \theta + r \cos(\theta/2)$$

$$z = r \sin(\theta/2)$$

onde  $-\frac{1}{2} \leq r \leq \frac{1}{2}$  e  $0 \leq \theta \leq 2\pi$ , é chamada **Faixa de Möbius**. Trace o gráfico dessa superfície sob vários pontos de vista. O que há de estranho nela?

33–36 Determine uma equação do plano tangente à superfície parametrizada dada no ponto especificado.

33.  $x = u + v$ ,  $y = 3u^2$ ,  $z = u - v$ ;  $(2, 3, 0)$

34.  $x = u^2 + 1$ ,  $y = v^3 + 1$ ,  $z = u + v$ ;  $(5, 2, 3)$

35.  $\mathbf{r}(u, v) = u \cos v \mathbf{i} + u \sin v \mathbf{j} + v \mathbf{k}$ ;  $u = 1, v = \pi/3$

36.  $\mathbf{r}(u, v) = \sin u \mathbf{i} + \cos u \sin v \mathbf{j} + \sin v \mathbf{k}$ ;  $u = \pi/6, v = \pi/6$

SCA 37–38 Determine uma equação do plano tangente à superfície parametrizada dada no ponto especificado. Desenhe a superfície e o plano tangente.

37.  $\mathbf{r}(u, v) = u^2 \mathbf{i} + 2u \sin v \mathbf{j} + u \cos v \mathbf{k}$ ;  $u = 1, v = 0$

38.  $\mathbf{r}(u, v) = (1 - u^2 - v^2) \mathbf{i} - v \mathbf{j} - u \mathbf{k}$ ;  $(-1, -1, -1)$

39–50 Determine a área da superfície.

39. A parte do plano  $3x + 2y + z = 6$  que está no primeiro octante

40. A parte do plano com equação vetorial  $\mathbf{r}(u, v) = \langle u + v, 2 - 3u, 1 + u - v \rangle$  que é dada por  $0 \leq u \leq 2, -1 \leq v \leq 1$

41. A parte do plano  $x + 2y + 3z = 1$  que está dentro do cilindro  $x^2 + y^2 = 3$

42. A parte do cone  $z = \sqrt{x^2 + y^2}$  que se encontra entre o plano  $y = x$  e o cilindro  $y = x^2$

43. A superfície  $z = \frac{2}{3}(x^{3/2} + y^{3/2})$ ,  $0 \leq x \leq 1, 0 \leq y \leq 1$

44. A parte da superfície  $z = 1 + 3x + 3y^2$  que está acima do triângulo com vértices  $(0, 0)$ ,  $(0, 1)$  e  $(2, 1)$

45. A parte da superfície  $z = xy$  que está dentro do cilindro  $x^2 + y^2 = 1$

46. A parte do parabolóide  $x = y^2 + z^2$  que está dentro do cilindro  $y^2 + z^2 = 9$

47. A parte da superfície  $y = 4x + z^2$  que se encontra entre os planos  $x = 0$ ,  $x = 1$ ,  $z = 0$  e  $z = 1$

48. O helicóide (ou rampa em espiral) com equação vetorial  $\mathbf{r}(u, v) = u \cos v \mathbf{i} + u \sin v \mathbf{j} + v \mathbf{k}$ ,  $0 \leq u \leq 1, 0 \leq v \leq \pi$

49. A superfície com equações paramétricas  $x = u^2$ ,  $y = uv$ ,  $z = \frac{1}{2}v^2$ ,  $0 \leq u \leq 1, 0 \leq v \leq 2$

50. A parte da esfera  $x^2 + y^2 + z^2 = b^2$  que está dentro do cilindro  $x^2 + y^2 = a^2$ , onde  $0 < a < b$

51. Se a equação de uma superfície  $S$  é  $z = f(x, y)$ , onde  $x^2 + y^2 \leq R^2$ , e você sabe que  $|f_x| \leq 1$  e  $|f_y| \leq 1$ , o que você pode dizer sobre  $A(S)$ ?

52–53 Encontre a área da superfície com precisão de quatro casas decimais, expressando-a em termos de uma integral unidimensional e usando sua calculadora para estimar a integral.

52. A parte da superfície  $z = \cos(x^2 + y^2)$  que está dentro do cilindro  $x^2 + y^2 = 1$

53. A parte da superfície  $z = e^{-x^2 - y^2}$  que está acima do círculo  $x^2 + y^2 \leq 4$

SCA 54. Determine, com precisão de quatro casas decimais, a área da parte da superfície  $z = (1 + x^2)/(1 + y^2)$  que está acima do quadrado  $|x| + |y| \leq 1$ . Ilustre, traçando o gráfico dessa parte de superfície.

55. (a) Use a Regra do Ponto Médio para integrais duplas (veja a Seção 15.1) com seis quadrados para estimar a área da superfície  $z = 1/(1 + x^2 + y^2)$ ,  $0 \leq x \leq 6, 0 \leq y \leq 4$ .

(b) Use um sistema de computação algébrica para aproximar área de superfície da parte (a) até a quarta casa decimal. Compare com sua resposta para a parte (a).

SCA 56. Determine a área da superfície de equação vetorial  $\mathbf{r}(u, v) = \langle \cos^3 u \cos^3 v, \sin^3 u \cos^3 v, \sin^3 v \rangle$ ,  $0 \leq u \leq \pi$ ,

$0 \leq v \leq 2\pi$ . Dê sua resposta com precisão de quatro casas decimais.

**57.** Determine a área exata da superfície  $z = 1 + 2x + 3y + 4y^2$ ,  $1 \leq x \leq 4$ ,  $0 \leq y \leq 1$ .

**58.** (a) Determine, mas não calcule, a integral dupla da área da superfície com as equações paramétricas  $x = au \cos v$ ,  $y = bu \sin v$ ,  $z = u^2$ ,  $0 \leq u \leq 2$ ,  $0 \leq v \leq 2\pi$ .

(b) Elimine os parâmetros para mostrar que a superfície é um parabolóide elíptico e escreva outra integral dupla que forneça sua área.



(c) Use as equações paramétricas da parte (a) com  $a = 2$  e  $b = 3$  para traçar o gráfico da superfície.



(d) Para o caso  $a = 2$ ,  $b = 3$ , use um sistema de computação algébrica para achar a área da superfície com precisão de quatro casas decimais.

**59.** (a) Mostre que as equações paramétricas  $x = a \sin u \cos v$ ,  $y = b \sin u \sin v$ ,  $z = c \cos u$ ,  $0 \leq u \leq \pi$ ,  $0 \leq v \leq 2\pi$ , representam um elipsoide.



(b) Use as equações paramétricas da parte (a) para traçar o gráfico do elipsoide para o caso  $a = 1$ ,  $b = 2$ ,  $c = 3$ .

(c) Determine, mas não calcule, uma integral dupla que dá a área de superfície da parte do elipsoide da parte (b).

**60.** (a) Mostre que as equações paramétricas  $x = a \cosh u \cos v$ ,  $y = b \cosh u \sin v$ ,  $z = c \sinh u$  representam um hiperbolóide de uma folha.

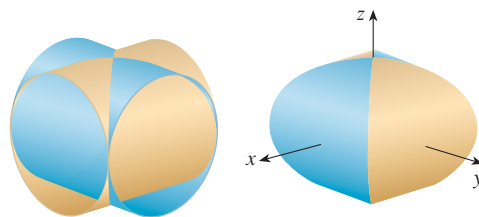


(b) Use as equações paramétricas da parte (a) para traçar o gráfico do hiperbolóide para o caso  $a = 1$ ,  $b = 2$ ,  $c = 3$ .

(c) Determine, mas não calcule, a integral dupla que dá a área de superfície da porção do hiperbolóide da parte (b) que está entre os planos  $z = -3$  e  $z = 3$ .

**61.** Encontre a área da parte da esfera  $x^2 + y^2 + z^2 = 4z$  que está dentro do parabolóide  $z = x^2 + y^2$ .

**62.** A figura mostra a superfície criada quando o cilindro  $y^2 + z^2 = 1$  intercepta o cilindro  $x^2 + z^2 = 1$ . Encontre a área desta superfície.

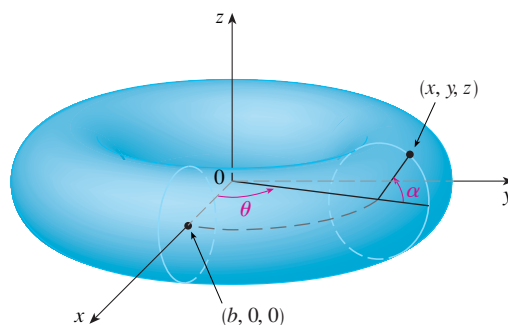


**63.** Encontre a área da parte da esfera  $x^2 + y^2 + z^2 = a^2$  que está dentro do cilindro  $x^2 + y^2 = ax$ .

**64.** (a) Determine a representação parametrizada do toro obtido ao girar pelo eixo  $z$  o círculo no plano  $xz$  com centro  $(b, 0, 0)$  e raio  $a < b$ . [Dica: Tome-se como parâmetros os ângulos  $\theta$  e  $\alpha$  mostrados na figura.]

(b) Use as equações paramétricas encontradas na parte (a) para traçar o gráfico do toro para diversos valores de  $a$  e  $b$ .

(c) Use a representação parametrizada da parte (a) para achar a área do toro.



## 16.7 Integrais de Superfície

A relação entre integral de superfície e área de superfície é semelhante àquela entre a integral de linha e o comprimento de arco. Suponha que  $f$  seja uma função de três variáveis cujo domínio inclui uma superfície  $S$ . Definiremos a integral de superfície de  $f$  sobre  $S$  de tal forma que, no caso em que  $f(x, y, z) = 1$ , o valor da integral de superfície seja igual à área da superfície de  $S$ . Começamos com superfícies parametrizadas e trataremos em seguida o caso especial onde  $S$  é o gráfico de uma função de duas variáveis.

### Superfícies parametrizadas

Suponha que a superfície  $S$  tenha equação vetorial

$$\mathbf{r}(u, v) = x(u, v) \mathbf{i} + y(u, v) \mathbf{j} + z(u, v) \mathbf{k} \quad (u, v) \in D$$

Vamos admitir inicialmente que o domínio dos parâmetros  $D$  seja um retângulo e vamos dividi-lo em sub-retângulos  $R_{ij}$  com dimensões  $\Delta u$  e  $\Delta v$ . Então, a superfície  $S$  é dividida em retalhos correspondentes  $S_{ij}$ , como na Figura 1. Calculamos  $f$  em um ponto  $P_{ij}^*$  de cada retalho, multiplicamos pela área  $\Delta S_{ij}$  do retalho e formamos a soma de Riemann

$$\sum_{i=1}^m \sum_{j=1}^n f(P_{ij}^*) \Delta S_{ij}$$